

信州大学 正員 石川 清志
信州大学 正員 夏目 正太郎

1. まえがき 温度上昇が一様でない不均一温度分布は構造物の強度と寿命に大きく関与し、熱によって誘起される熱応力の特性を知ることは工学上重要なことであろう。本研究は、熱衝撃を受ける両端が固定された無限帯板の動的曲げ問題の一解析法を示すもので、位置、時間に依存する熱源の形態に対する熱伝導率、これに伴って誘起される曲げたわみの応答を明らかにする。解析法は、非連成熱弹性問題として、Fourier変換と変数分離の固有函数を導入して、熱および力学的境界条件および初期条件で熱伝導方程式および運動方程式を解く。

2. 理論解析 非定常温度場: $T(x, y, z, t)$ の影響を受ける均質等方性板の曲げに対する運動方程式は

$$\nabla^2 \omega + \frac{\rho h}{D} \frac{\partial^2 \omega}{\partial t^2} = -(1-\nu) \alpha_t \nabla^2 \theta \quad (1)$$

と表わされる。 $\omega(x, y, t)$ は曲げたわみ、 D は曲げ剛性、 ρ は質量密度、 h は板厚、 ν はポアソン比、 α_t は熱膨張係数、 $\nabla^2 = \partial^2/\partial x^2 + \partial^2/\partial y^2$ 、 θ は温度モーメントで

$$\theta(x, y, t) = \frac{12}{h^3} \int_{-\frac{h}{2}}^{\frac{h}{2}} z T(x, y, z, t) dz$$

と表わされ、板厚が極めて薄い板の曲げ問題に対して熱伝導方程式は

$$\nabla^2 \theta - \frac{12}{h^3} (1+\varepsilon) \theta - \frac{1}{K} \frac{\partial \theta}{\partial t} = -m(x, y) H(t) \quad (2)$$

と表わされる。¹⁾ ここで

$$m(x, y) H(t) = \frac{12}{h^3} \varepsilon (\beta_u - \beta_e) + \frac{q}{\lambda}, \quad \kappa = \frac{\lambda}{c\rho},$$

$$q(x, y, t) = \frac{12}{h^3} \int_{-\frac{h}{2}}^{\frac{h}{2}} z W(x, y, z, t) dz, \quad \varepsilon = \frac{h \lambda e}{2 \lambda}$$

ただし、 λ は熱伝導率、 λ_e は熱伝達率、 c' は比熱、 $W(x, y, z, t)$ は熱源で単位体積単位時間当たりの熱発生量、 $\beta_u(x, y, t)$ および $\beta_e(x, y, t)$ は $z > \frac{h}{2}$ および $z < -\frac{h}{2}$ の周囲媒体温度である。いま、板は幅: $2a$ の両端固定の無限帯板とする。すると(1)に対する境界条件および初期条件は

$$\gamma = \pm a: \omega = \frac{\partial \omega}{\partial y} = 0, \quad t=0: \omega = \frac{\partial \omega}{\partial t} = 0. \quad (3)$$

(2)に対する境界条件および初期条件は

$$\gamma = \pm a: \lambda \frac{\partial \theta}{\partial y} \pm \lambda_e \theta = 0, \quad t=0: \theta = 0 \quad (4)$$

とする。(4)の境界条件は $|y| > a$ の媒体温度をゼロとしたものである。無次元量: $\xi = x/a$ ($|\xi| < \infty$)、 $\eta = y/a$ ($|\eta| < 1$)、 $\tau = kt/a^2$ ($0 < \tau$) を導入して、(2)、(4)を

$$\tilde{\theta}(\eta, \gamma, \tau) = \int_{-\infty}^{\infty} \theta(\xi, \eta, \tau) e^{i\gamma\xi} d\xi, \quad \tilde{m}(\eta, \gamma) = \int_{-\infty}^{\infty} m(\xi, \eta) e^{i\gamma\xi} d\xi$$

に Fourier 変換し、変数分離の固有函数を導入して解くと次の結果:

$$\tilde{\theta}(\eta, \gamma, \tau) = a^2 \sum_{n=1}^{\infty} \{B_n(\eta) \cos k_n \eta + B'_n(\eta) \sin k_n \eta\} G_n(\tau) \quad (5)$$

が得られる(フーリエは η について奇函数、他は偶函数)。ここで

$$B_n(\eta) = \frac{\int_{-\infty}^{\eta} \tilde{m}(\eta, \gamma) \cos k_n \eta d\eta}{\int_{-\infty}^{\eta} \cos^2 k_n \eta d\eta}, \quad B'_n(\eta) = \frac{\int_{-\infty}^{\eta} \tilde{m}(\eta, \gamma) \sin k_n \eta d\eta}{\int_{-\infty}^{\eta} \sin^2 k_n \eta d\eta}$$

$$G_n(\tau) = e^{-\omega_{yn} \tau} \int_0^{\tau} H(t') e^{i\omega_{yn} t'} dt', \quad \omega_{yn} = k_n^2 + c'^2 + \gamma^2$$

ただし、 k_n や ω_{yn} は次の固有値方程式:

$$k_n \tan k_n - \zeta = 0, \quad k_n \cot k_n + \zeta = 0, \quad \zeta = a \frac{\lambda}{\lambda'}$$

の根である。なお、 $c'^2 = 12 \frac{a}{h^2} (1+\varepsilon)$ である。

同様に、(1)、(3)において

$$\tilde{\omega}(\eta, \gamma, \tau) = \int_{-\infty}^{\infty} \omega(\xi, \eta, \tau) e^{i\gamma\xi} d\xi$$

を行ひ、(5)の結果を考慮して解くと次の結果:

$$\begin{aligned} \tilde{\omega}(\eta, \gamma, \tau) = & \sum_{m=1}^{\infty} \left\{ \varphi_m(\eta) \left[\cos \frac{k_m^2 \tau}{s} - \sin \frac{k_m^2 \tau}{s} \right] \mathcal{L}_{ym} \right. \\ & \left. + \varphi'_m(\eta) \left[\cos \frac{k_m^2 \tau}{s} - \sin \frac{k_m^2 \tau}{s} \right] \mathcal{L}'_{ym} \right\} \\ & + \sum_{n=1}^{\infty} \{ I_n(\eta) + I'_n(\eta) \} G_n(\tau) \end{aligned} \quad (6)$$

が得られる($s^2 = \kappa^2 \frac{\rho h}{D}$)。ここで

$$\mathcal{L}_{ym} = \frac{s}{\varphi_m^2 \int_{-1}^1 \varphi_m^2(\eta) d\eta} \sum_{n=1}^{\infty} \left[\frac{G_n(0)}{\dot{G}_n(0)} \right] \int_{-1}^1 \varphi_m(\eta) I_n(\eta) d\eta,$$

$$\mathcal{L}'_{ym} = \frac{s}{\varphi_m'^2 \int_{-1}^1 \varphi_m'^2(\eta) d\eta} \sum_{n=1}^{\infty} \left[\frac{G_n(0)}{\dot{G}_n(0)} \right] \int_{-1}^1 \varphi'_m(\eta) I'_n(\eta) d\eta$$

$$I_n(\eta) = \frac{\cos k_n}{k_n^2 + \gamma^2} \cdot B_n(\eta) \left\{ \frac{\cos k_n \eta - (1+\zeta) \operatorname{sh} \gamma + \gamma \operatorname{ch} \gamma}{\operatorname{ch} \gamma \operatorname{sh} \gamma + \gamma} \operatorname{ch} \gamma \eta + \frac{\gamma \operatorname{sh} \gamma + \zeta \operatorname{ch} \gamma}{\operatorname{ch} \gamma \operatorname{sh} \gamma + \gamma} \eta \operatorname{sh} \gamma \eta \right\},$$

$$I'_n(\eta) = \frac{\sin k_n}{k_n^2 + \gamma^2} \cdot B'_n(\eta) \left\{ \frac{\sin k_n \eta - (1+\zeta) \operatorname{ch} \gamma + \gamma \operatorname{sh} \gamma}{\operatorname{ch} \gamma \operatorname{sh} \gamma - \gamma} \operatorname{sh} \gamma \eta + \frac{\gamma \operatorname{ch} \gamma + \zeta \operatorname{sh} \gamma}{\operatorname{ch} \gamma \operatorname{sh} \gamma - \gamma} \eta \operatorname{ch} \gamma \eta \right\},$$

$$\varphi_{ym}(\eta) = \frac{\cos \alpha_{ym} \eta}{\cos \alpha_{ym}}, \quad \varphi'_{ym}(\eta) = \frac{\sin \alpha_{ym} \eta}{\sin \alpha_{ym}} - \frac{\operatorname{sh} \beta_{ym} \eta}{\operatorname{sh} \beta_{ym}}.$$

$\varphi_{ym}(\eta)$ および $\varphi'_{ym}(\eta)$ は固有関数でそれぞれ次の固有値方程式:

$$\alpha_{ym} \tan \alpha_{ym} + \beta_{ym} \operatorname{tanh} \beta_{ym} = 0, \quad \alpha_{ym} \cot \alpha_{ym} - \beta_{ym} \operatorname{coth} \beta_{ym} = 0 \quad (7)$$

の根: β_{ym} を採用する。ただし、 α_{ym} および β_{ym} は β_{ym}, γ の間で次の関係: $\alpha_{ym}^2 = \beta_{ym}^2 - \gamma^2$, $\beta_{ym}^2 = \beta_{ym}^2 + \gamma^2$ をとする。(5) および (6) を Fourier 逆変換:

$$\Phi(\xi, \eta, \tau) = \frac{1}{2\pi} \int_{-\infty}^{\infty} \tilde{\Phi}(y, \eta, \tau) e^{-iy\xi} dy, \quad \omega(\xi, \eta, \tau) = \frac{1}{2\pi} \int_{-\infty}^{\infty} \tilde{\omega}(y, \eta, \tau) e^{-iy\xi} dy$$

すれば (7) および (8) は得られる。

3. 数値計算例 热源は位置に対して部分分布(図-1):

$$m(\xi, \eta) = \begin{cases} m_0 & (|\xi| < \xi_0, |\eta| < \eta_0) \\ 0 & (|\xi| > \xi_0, |\eta| > \eta_0) \end{cases}$$

時間に依存して一定なステップ形: $H(\tau) = 1$ を表わされる場合について数値計算を行った。図-2 は積分変数: γ に対する固有値方程式 ((7) の左1式) の根: β_{ym} の特性を表わしたもので、 $\gamma = 0$ のとき β_{ym} が両端固定梁の自由振動の固有値に合致し、 β_{ym} を初期値として指数関数的な形態を表わす。図-3 は熱源の形態に対するたわみ応答を表わしたものである。中央束のたわみ $w(0, 0, \tau)$ は、

$w_p(0, 0, \tau)$ (準静的

曲げたたみ: (6) の
第2項)を中心にして
振動し、高次の固
有周期の影響によつ
ていくらかみだれる
もののその振動周期
は1次の固有周期:

$$\frac{2\pi}{\beta_{01}} = 0.00112$$

が支配的である。ま
た、第1周期の極値

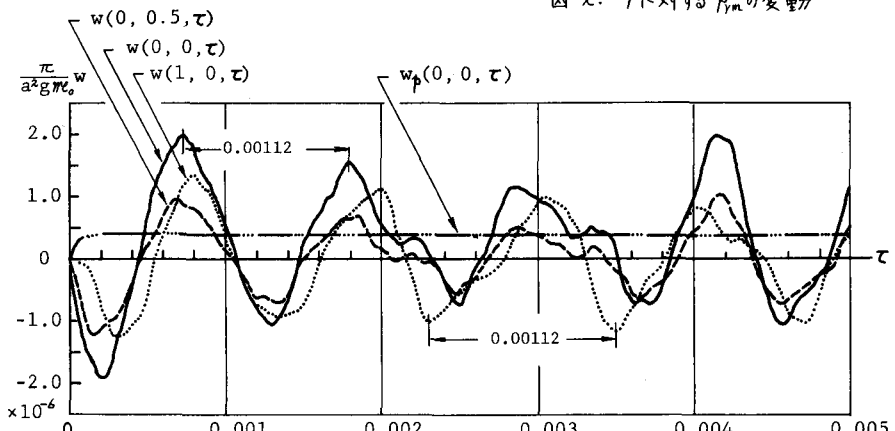


図-2. γ に対する β_{ym} の変動

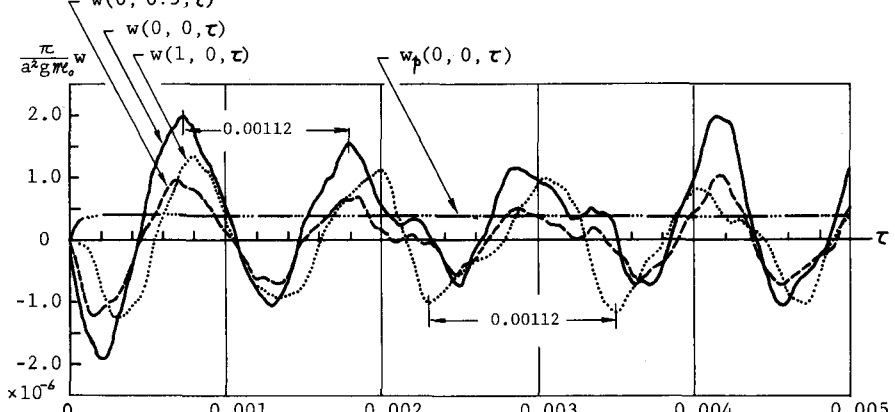


図-3. 下力み応答 ($\gamma = (1+\nu) \alpha_t a^2$)

が最大振幅を表わし、時間経過に伴って減衰するが、約 $\tau = 0.0042$ で再び増振幅し、以後減衰する形態をくり返す。 $w_p(0, 0, \tau)$ は約 0.00002 でたまたま定常状態に移行するが、この形態は ω_{ym} に依存する。なお、Fourier 逆変換の積分は 0 から ∞ の積分に置き換え積分上限値を $\gamma = 40$ で Simpson 数値積分を用いて行った。また、 m および n の次数は共に 20 次まで採用した。

Nowacki, W., Thermoelasticity, Pergamon Press, Oxford, 1962, p. 435-504.

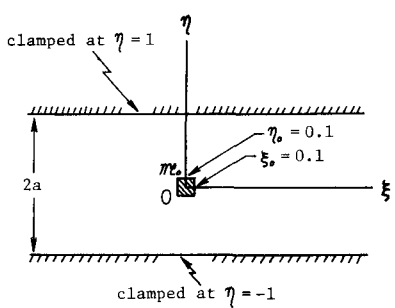


図-1.両端固定の無限帯板